

II-33 小段上の砂の移動についての実験

都立大学 正員 ○ 堀田新太郎
能谷組 仲正博

I. 概説 図-1に示されるような状態にあるときを小段と呼ぶ。このような場合における一連の実験は実験中なので、その途中明らかになった実験結果を報告する。

II. 実験装置と実験方法 実験に用いている水路の入り口は、長さ2

m、中0.5m、深さ0.8mの側面がガラス張りの鋼製水路である。波高の測定は主として、フックゲージを用い、補助として抵抗棒式水位計を使用した。前壁の壁は鋼板で高さは自由に变化し得、後の壁は木製で、その位置を変え得る。実験は、最初 $h/d = 0.3$ にて、小段の長さは前壁の波長の $1/4$ 、 $1/2$ 、 $3/4$ 、1、波高は前壁の前にて、約4、8、12、16、cmになるように選択された。小段上の砂の移動は8mm、35mmカメラで実験開始後、5、10、15、30min以後1時間毎に記録された。実験の終了は、1時間に渡って砂面に变化のない状態になったときとした。一実験に要する時間は4-12時間であった。実験に用いられた砂は平均径0.38mmで比較的粒子のそろったものである。

III. 実験結果 (i), l と前壁の波長の

$1/4$ 毎に取ったのは $h/d = 0.5$ 以下では、 l の長さが短かり故に一長では $(d-h)$ の深さに相応する波長に変化し得えなりであるという仮定による。小段上の波は完全な重複波になり、砂面は一部移動の場合と全面移動の場合があった。

表-1は重複波による砂移動の性質を利理論値と比較して%で示したものである。

小段上の波は明らかに $(d-h)$ の深さに対応してゐる。

(ii), 図-2, 図-3, 図-4は、前壁の後に生じる肩状波の入りき X_e ととを示したものである。ここに

$$\xi = 2a \frac{\cosh k(\bar{z}+d)}{\sinh kd} \sin k\bar{z}$$

図-1

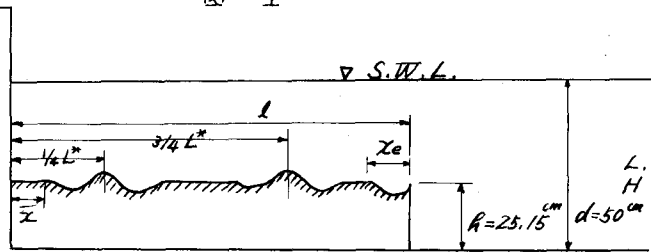


表-1

h/d	T	l/L	H	$L^*/4$	$3L^*/4$	$L/4$	$3L/4$	①/③ (%)	②/④ (%)
0.3	1.3	1/2	16	49.4	00.0	51.9	155.7	95.3	
"	"	3/4	"	53.0	"	"	"	102.1	
"	"	1	12	51.6	147.2	"	"	99.4	94.5
"	"	1	16	53.0	152.7	"	"	102.1	98.1
"	1.6	3/4	12	67.4	"	67.5	202.5	99.6	
"	"	1	"	70.5	200.5	"	"	104.4	99.0
"	"	1	16	70.3	200.3	"	"	104.2	98.9
"	1.9	1/2	12	81.6	"	82.2	246.6	99.3	
"	"	1	"	95.0	257.3	"	"	115.6	104.3
"	"	"	16	100.8	254.8	"	"	122.6	103.3
"	2.2	3/4	8	95.1	"	96.9	290.7	98.1	
"	"	"	12	102.1	"	"	"	105.5	
"	"	"	16	100.8	"	"	"	104.0	
"	"	1	12	101.8	287.5	"	"	105.2	98.8
"	"	"	16	107.8	296.5	"	"	111.2	102.0
0.5	1.0	1/2	12	37.3	"	32.6	97.8	114.2	
"	"	"	16	33.5	"	"	"	102.6	
"	"	3/4	"	32.8	"	"	"	100.6	
"	"	1	12	32.1	88.5	"	"	98.5	90.5
"	"	"	16	35.5	96.4	"	"	108.8	98.6
"	1.3	3/4	16	42.2	"	45.9	137.7	91.9	
"	"	1	12	44.4	137.3	"	"	96.7	99.7
"	"	"	16	48.1	139.7	"	"	104.8	101.5
"	1.6	1	8	56.0	173.1	58.3	174.9	96.1	99.0
"	"	"	12	62.1	179.9	"	"	106.5	102.9
"	"	"	16	55.2	174.9	"	"	94.8	100.0
"	1.9	3/4	16	74.0	"	70.6	211.8	102.7	
"	"	1	12	70.3	212.0	"	"	99.6	100.1
"	"	"	16	74.0	214.0	"	"	104.8	101.4
"	2.2	3/4	12	92.9	257.8	83.1	249.3	111.5	103.5
"	"	1	8	90.8	255.8	"	"	109.3	102.6
"	"	"	12	84.0	250.0	"	"	101.1	100.3

L*: 実験値

図-2

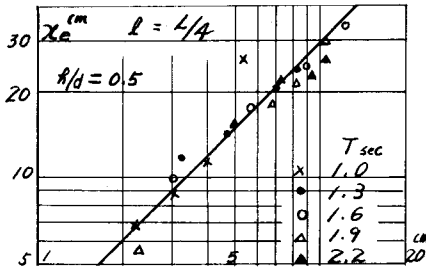


図-2, 図-3は、 $l = L/4$ の場合であるが、これは、 h/d に関係なく、 X_c/l は一定値を取ることが予想される。図-4は $l = L$, $h/d = 0.3$ の場合である。

同じく X_c/l は一定値をとるようであるが、他に X_c/l を決定する因子があると考えられる。筆者等は重複波の腹と節に関係を持つと予測する。なぜなら、概に述べたように、小段上は $(d - h)$ に対応する波長になっており、図中Aの近傍にある英は、前壁が節の近くに在り、Bの近傍にある英は腹の近くに前壁があるからである。

(iii), 限界流速につれて小段上の重複波によって部分的に断が移動した場合、その移動し始めた英は移動限界流速にあると考えられる。図-5はこの英と実験より求め、次式の U で無次元表示したものである。図中、進行波によって得られた、佐藤・田中、石原・榎木⁽¹⁾の結果が表示してある。

$$U = 2a \frac{\cosh(a(h+Rz))}{\sinh aR} \sin a z$$

$$h = -z = 0.25 \text{ or } 0.35 \text{ mm}$$

図は重複波による限界流速は、進行波によるものと同様に論じられたいようである。

(iv), 当然考えられることだが、小段上、及びその前壁にて碎波することかな。これは実験にて明らかである。

参考文献

- (1), 第13回 海洋工学講演集 P142
 漂砂の移動限界流速および限界水深に
 関する再考 榎木亨

図-3

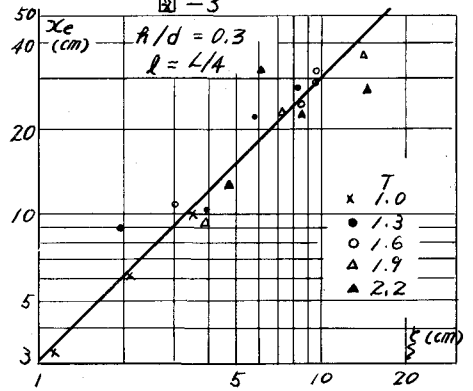


図-4

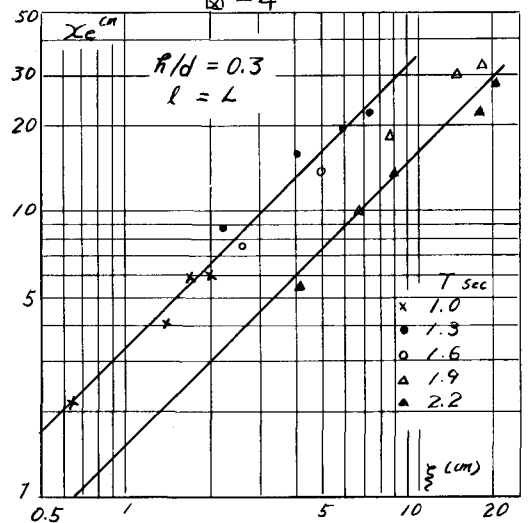


図-5

